

تقدير حجم الجريان السطحي لأحواض غرب بحيرة دريندخان

أ. د. عبد الله صبار عبود
جامعة بغداد/ كلية الآداب
قسم الجغرافية

اسراء عبد الحسين عباس
جامعة بغداد/ كلية الآداب
قسم الجغرافية

(ملخص البحث)

تناول البحث دراسة تقدير حجم الجريان السطحي ومخاطر السيول لوديان غرب حوض بحيرة دريندخان البالغ عددها (١١ وادياً) والتي تقع جنوب شرق محافظة السليمانية بمساحة بلغت (١٣٣,١٤٨ كم^٢)، وقد تم تحديد المكانى لدرجة هذه المخاطر عن طريق دراسة بعض المعاملات الهيدرولوجية لأحواض منطقة الدراسة ذات الصلة المباشرة بعمليات الجريان السيلي وحدوث مخاطر السيول على سطح الأرض.

المقدمة:

تعد السيول (Flash Floods) واحدة من أسوأ المخاطر الطبيعية بسبب عدم التنبؤ بموعد حدوثها في اليوم او الساعة الا أنها تتبع تكرار سقوط الامطار الشديدة، إذ تعد الامطار الغزيرة أحد العوامل الرئيسية في حدوث السيول عندما تزيد عن القدرة الامتصاصية للتربة ويتوقف التسرب عن معدل معين مع استمرارية سقوط الامطار لذلك فإن المياه المتجمعة ستتجري على المنحدرات في هيئة تدفق غطائي باندفاع قوي نحو المناسيب الاقل ارتفاعاً (المصب) ففتح المزارع والطرق والجسور والمنشآت مسببة خسائر واضرار بليغة.

موقع منطقة الدراسة:

تقع منطقة الدراسة من الناحية الفلكية بين دائرتىي عرض (١٢° - ١٤°)، طول (٣٥° - ٣٥°)، شمالي وبين قوسى طول (٣٨° - ٤٥°)، ومن الناحية الجغرافية فإن المنطقة تقع جنوب شرق محافظة السليمانية خريطة (١)، وتتحدد المنطقة طبيعياً من الغرب بسلسلة برانان ومن الشمال والشمال الشرقي سهل شهرزور ومن الشرق بحيرة دريندخان، ومن الجنوب سد دريندخان.

مشكلة البحث: يمكن صياغة مشكلة البحث بالأسئلة الآتية:

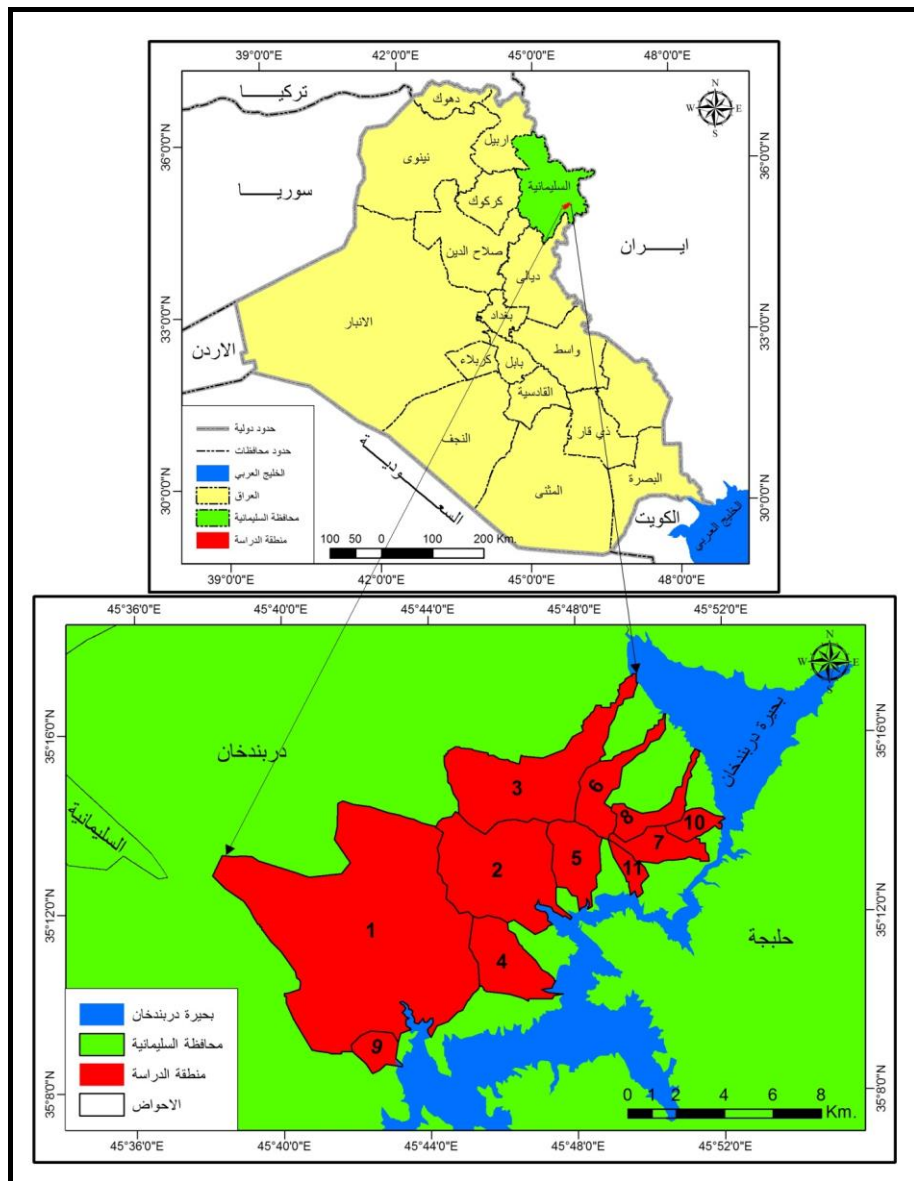
١. ما هو حجم الجريان السطحي في منطقة الدراسة؟
٢. ما العوامل المؤثرة في حجم الجريان السطحي في منطقة الدراسة؟

٣. هل هناك مخاطر للسيول في منطقة الدراسة؟ وما هي حدتها؟

فرضية البحث:

تسلم منطقة الدراسة كميات كبيرة من المياه سواء عن طريق سقوط الامطار او ذوبان الجليد مما يؤدي الى زيادة حجم الجريان السطحي، وتعد العوامل المناخية من أهم العوامل المؤثرة في حجم الجريان السطحي، فضلاً عن طوبوغرافية الأرض، والتربة، والنبات الطبيعي، وهناك مخاطر للسيول لاسيما في الاحواض الرئيسية لمنطقة الدراسة.

خرائط (١) موقع منطقة الدراسة من محافظة السليمانية



المصدر: من عمل الباحثة بالاعتماد على خريطة محافظة السليمانية الإدارية بمقاييس (Arc GIS10.5) وباستخدام برنامج (1:١٠٠٠٠٠)

ما هي السيول؟

تعرف السيول بأنها جريان مائي مؤقت عاصف يحتوي على الكثير من المواد الصلبة يؤدي إلى ارتفاع منسوب المياه في الوادي أو المجرى ويتميز بظهوره المفاجئ وسرعة جريانه ثم تناقصه السريع كماً وسرعة^(١). وتعد السيول (Flash Floods) واحدة من أسوأ المخاطر الطبيعية بسبب عدم التنبؤ بموعد حدوثها في اليوم أو الساعة إلا أنها تتبع تكرار سقوط الأمطار الشديدة^(٢) إذ تعدد الأمطار الغزيرة أحد العوامل الرئيسية في حدوث السيول عندما تزيد عن القدرة الامتصاصية للترابة ويتوقف التسرب عن معدل معين مع استمرارية سقوط الأمطار لذلك فأن المياه المتجمعة ستتجري على المنحدرات في هيئة تدفق غطائي باندفاع قوي نحو المناسب الأقل ارتفاعاً (المصب) ففتح المزارع والطرق والجسور والمنشآت^(٣)

وسوف يتم دراسة السيول في المنطقة كما يأتي:

العوامل الهيدرولوجية المؤثرة في السيول:

إن دراسة السيول ذات أهمية في تقسيم تصريف الحوض في ضمن مدة زمنية قصيرة إذ يمكننا معرفة الإمكانيات الهيدرولوجية وتغيراتها ومدى تأثيرها على السطح من خلال أحجام المياه التي تساهم بشكل كبير في عملية النحت والتعريمة^(٤) واهم عناصر هذه الدراسة هي:

A - زمن التركيز (Tc)

ويقصد به المدة الزمنية التي يستغرقها الجريان السطحي من بعد نقطة في الحوض إلى مخرجه ودراسة زمن التركيز تستخدم في معرفة الوقت الذي تقطعه المياه للوصول إلى المصب فضلاً عن تصنيف درجات الخطورة للأودية وكلما زادت هذه المدة الزمنية دل ذلك على أن حوض التصريف يتسم بمعدلات خطورة منخفضة أما الأحواض التي تسجل زمن تركيز منخفض فهي تتميز باحتمالية خطورة مرتفعة^(٥). ويستخرج من التركيز وفق المعادلة الآتية^(٦):

$$Tc = 75 \frac{4(S)^{0,5} + (1,5 \times L)}{0,8 (H)^{0,5}}$$

اذ ان

S = انحدار مجاري الماء

L = طول المجرى (كم)

H = فارق الارتفاع بين المعدل والارتفاع الأدنى للحوض المائي (م)

عند تطبيق المعادلة على أحواض منطقة الدراسة، جدول (١)، يتبيّن أن المتوسط العام لزمن التركيز في الأحواض بلغ (٣,١٥) ساعات أي ان معظم أحواض تصريف منطقة الدراسة تحتاج إلى (٣) ساعات تقريباً منذ بداية العاصفة المطرية حتى يصبح الجريان مساوياً لأي زيادة في كمية الأمطار الساقطة.

اما قيم (Tc) على مستوى الأحواض فتراوحت ما بين اقل سرعة وقد بلغت (٢,٤٥) ساعة لاحوض (٣) وبين اكبر سرعة للاحوض (٩) اذ بلغت (٣,٩٤) ساعات اذ ان هذه القيم تعكس الفارق الزمني ما بين سرعة وصول المياه في حوض (٣) وسرعة وصول حوض (٩) وان هذا التباين في نسب زمن التركيز يرجع الى وجود عوامل تؤثر في قوة وسرعة وصول موجات السيول من المنبع الى المصب ومن هذه العوامل الخصائص المورفومترية للأحواض ودرجة الانحدار والبنية الجيولوجية والغطاء النباتي فضلاً عن ضيق عرض الوادي اذ تزداد سرعة الجريان في الوديان الضيقة نتيجة عدم استيعابها لحجم المياه الجارية فيها.

ب-زمن التباطؤ (Lag Time):

ويقصد به المدة الزمنية المحصورة بين بداية سقوط الأمطار وحتى بداية الجريان وبعد هذا العامل من المعاملات المهمة المؤثرة بقوة في تحديد كمية الفاقد خلال زمن التباطؤ اذ تتسرّب كميات كبيرة من المياه في ثاليا التربة خلال هذه المدة ويتوقف طول زمن التباطؤ على نوع الصخور المكونة للسطح ومدى تأثيرها بالشقوق والفاصل فضلاً عن مدى تأثيرها بالتجوية، وبشكل عام فان معامل التباطؤ يكون مرتفعاً في حالة السطوح المنخفضة الانحدار والاجزاء شبه المستوية بسبب انخفاض فعل الجاذبية الارضية على هذه السطوح وتؤدي مثل هذه الظروف الى المزيد من الفاقد عن طريق التبخّر والتسرّب مع تراكم المياه لمدة اطول والعكس صحيح اذ تعمل الانحدارات الشديدة على انخفاض الفاقد ومعامل التباطؤ ومن ثم زيادة في سرعة وحجم التصريف^(٧) وقد تم الاعتماد على انموذج Snyder اذ ربط في علاقة تجريبية بين زمن التباطؤ واقصى طول لاحوض، وكذلك بطول مسار المياه من مركز نقل الحوض واخذت العلاقة الشكل التالي^(٨):

$$Tp \text{ (hr)} = Ct \text{ (Lb Lca)}^{0.3}$$

اذ ان

Lb = طول المجرى الرئيسي (كم)

Lca = المسافة الفاصلة بين مصب الحوض ومركز ثقله (كم)

Ct = معامل زمن تدفق الذرة وهو خاص بطبيعة الحوض وانحداره وتتراوح قيمته بين

(٢,٢ - ٠,٢)

جدول (١) ازمنة التركيز والتباطؤ في أحواض منطقة الدراسة

رقم الحوض	زمن التركيز بالدقيقة	زمن التركيز بالساعة	زمن التباطؤ
-١	١٦٥,١١	٢,٧٥	٥,٤٥
-٢	١٧٠,٣١	٢,٨٣	٤,١٩
-٣	١٤٧,٠٨	٢,٤٥	٥,٤٥
-٤	١٨١,٥٦	٣,٠٢	٣,٤٠
-٥	١٧٧,١٨	٢,٩٥	٣,١٠
-٦	١٧٩,٦٧	٢,٩٩	٤,٤٩
-٧	١٨٥,٤٤	٣,٠٩	٢,٧٨
-٨	١٩٩,٤٤	٣,٣٢	٤,٢٧
-٩	٢٣٦,٧٦	٣,٩٤	٢,١٨
-١٠	٢٠٨,٨٩	٣,٤٨	٢,٣٤
-١١	٢٣٣,٥٣	٣,٨٩	٢,٢٩
المعدل	١٨٩,٥٤	٣,١٥	٣,٦٣

المصدر: من عمل الباحثة بالاعتماد على نتائج معادلتي (Tp) و(Tc)

وعند تطبيق المعادلة على أحواض منطقة الدراسة يلاحظ جدول (١) اذ يتضح ان المعدل العام لزمن التباطؤ بلغ (٣,٦٣) ساعة وهذا يعني ان أحواض منطقة الدراسة تحتاج (٣,٦٣) ساعة حتى ينشأ الجريان الفعلي في مجاريها، وتراوحت قيم (Tp) لأحواض التصريف ما بين اعلى قيمة للحوظين (١ و ٣) اذ بلغت (٥,٤٥) ساعة ويعزى السبب الى طول المجرى الرئيسي والبالغ (١٢,١١ كم) للحوض (١) و(٩,٢٩٨ كم) للحوض (٣) فضلاً عن لتكوينات الجيولوجية التي تجري فوقها الأحواض والتي تسمح بنفاذ المياه خلالها وتؤدي هذه العوامل الى زيادة الفاقد بالتسرب والتباخر نتيجة لترابك المياه فوق سطح الأرض مدة زمنية تسمح للمياه بالتسرب في التربة، وبين اقل قيمة للحوض (٩) والبالغة (٢,١٨) ساعة ويرجع السبب في انخفاض زمن التباطؤ الى قصر مجراه البالغ (٢,٤٥ كم) وشدة انحداره فضلاً عن زيادة كثافة التصريف.

ج- زمن الأساس للسيول (Tb):

هي المدة الزمنية لامتداد السيول في حوض التصريف المائي من منبعه حتى مصبها. وتنماذل هذه لمدة في تغيراتها مع تغيرات زمن التباطؤ ويتم حساب مدة الأساس للسيول (يوم) (Time base) (days) باستخدام المعادلة الآتية^(٩):

$$Tb \text{ (days)} = 3 + \frac{Tp \text{ (hr)}}{8}$$

اذ ان

$$Tb = \text{زمن الاساس للسيول (يوم)} \quad (days)$$

$$Tp = \text{مدة استجابة الحوض المائي لسقوط الامطار / ساعات (زمن التباطؤ)}$$

يتضح من بيانات جدول (٢) ان المعدل العام لزمن الاساس بلغ (٣,٤٥ يوم)، في حين تراوح زمن الاساس لسيول احواض منطقة الدراسة بين اقصر مدة اساس لحدوث السيول كانت في حوض (٩) اذ بلغ (٣,٢٧ يوم) وبين اطول مدة في حوضي (١ و ٣) والبالغة (٣,٦٨ يوم) لكلا الحوضين. مما سبق يلاحظ تباين زمن الاساس للسيول في احواض منطقة الدراسة ولكن بفارق بسيط جداً، ويعود ذلك الى التشابه في الظروف الجيولوجية والمناخية ومعدلات الامطار الساقطة.

د- مدة الارتفاع التدريجي لتدفق السيول (TM):

هي المدة الزمنية اللازمة لارتفاع التدريجي لمياه الامطار في قاع مجاري الوديان بعد حدوث التسرب السطحي للرواسب السطحية والتربة عن طريق التسرب، وحدوث قدر من التبخر اثناء العاصفة المطرية، وذلك مع افتراض استمرارية التساقط بحيث تسمح الكميات المتتساقطة بحدوث هذا الارتفاع حتى تتدفق السيول من قطاعات الوديان العليا والوسطى الى القطاعات الدنيا نحو مصباتها، ويتم حساب هذه المدة على وفق المعادلة الآتية (١٠):

$$TM (\text{hr}) = \frac{1}{3} Tb (\text{hr})$$

اذ ان

$$TM (\text{hr}) = \text{مدة الارتفاع التدريجي لتدفق السيول (ساعات)}$$

$$Tb (\text{hr}) = \text{زمن الاساس للسيول محسوبة (ساعة)}$$

يتضح من تطبيق المعادلة وتحليل بيانات الجدول (٤-٢) ان المعدل العام لزمن الارتفاع التدريجي لتدفق السيول في احواض منطقة الدراسة بلغ (١,١٤ ساعة) اي ان مدة الارتفاع التدريجي لتدفق السيول في المنطقة تكون قصيرة جداً مما يدل على عدم بقاء المياه كثيراً في قيام المجاري والودية عند سقوطها وحتى بداية جريانها وهي مدة قصيرة تدل على خطورة شديدة ولا يمكن معها تقادى اخطار الجريان السيلي الناجم وذلك لقصر المدة وضخامة حجم الجريان.

هـ- مدة الانخفاض التدريجي لتدفق السيول (Td)

هي المدة الزمنية التي يستغرقها السيل لرجوع المياه إلى وضعها الطبيعي،
معنی هي مدة انخفاض منسوب السيل ورجوع الجريان السطحي إلى وضعه
ال الطبيعي ويتم حسابها من المعادلة الآتية^(١١):

$$Td \text{ (hr)} = \frac{2}{3} Tb \text{ (hr)}$$

اذ ان

$Td \text{ (hr)}$ = مدة الانخفاض التدريجي لتدفق السيول محسوبة (ساعات)

$Tb \text{ (hr)}$ = زمن الاساس للسيول محسوبة (ساعة)

يتبيّن من تطبيق المعادلة التي تظهر نتائجها في جدول (٢) ان المعدل العام
لمدة الانخفاض التدريجي لأحواض تصريف منطقة الدراسة بلغ (٢,٢٩) ساعة،
وتراوحت قيم (Td) على مستوى الأحواض ما بين أعلى قيمة للحوظين (١ و ٣) اذ
بلغت (٢,٤٥) ساعة لكلاهما وأقل قيمة للأحواض (١١-١٠-٩) والبالغة (٢,١٨)
ساعة) للأحواض الثلاثة.

جدول (٢) بعض الخصائص الهيدرولوجية لأحواض تعريف منطقة الدراسة

رقم الحوض	مدة الاساس/ يوم	مدة الارتفاع التدريجي لتدفق السيول/ ساعة	مدة الانخفاض التدريجي لتدفق السيول/ ساعة	سرعة الجريان السيلي
-١	٣,٦٨	١,٢٢	٢,٤٥	٤,٠٨
-٢	٣,٥٢	١,١٧	٢,٣٤	٢,٣٧
-٣	٣,٦٨	١,٢٢	٢,٤٥	٣,٠٥
-٤	٣,٤٢	١,١٤	٢,٢٨	١,٤٨
-٥	٣,٣٨	١,١٢	٢,٢٥	١,٣٥
-٦	٣,٥٦	١,١٨	٢,٣٧	١,٩٣
-٧	٣,٣٤	١,١١	٢,٢٢	١,٣٤
-٨	٣,٥٣	١,١٧	٢,٣٥	١,٤٥
-٩	٣,٢٧	١,٠٩	٢,١٨	٠,٥٣
-١٠	٣,٢٩	١,٠٩	٢,١٨	٠,٧١
-١١	٣,٢٨	١,٠٩	٢,١٨	٠,٥٩
المعدل	٣,٤٥	١,١٤	٢,٢٩	١,٧١

المصدر: من عمل الباحثة بالاعتماد على نتائج معادلات

ما سبق نستنتج انه كلما زادت قيمة معامل التباطؤ زادت مدة الانخفاض
التدريجي لتدفق السيل اذ توجد علاقة طردية ما بين معامل التباطؤ في الأحواض
مع جميع قيم الزمن اي بزيادته يزداد زمن استجابة الأحواض للوصول الى ذروة
التدفق (Tp) فضلاً عن ازدياد المدة المثالية (القياسية) لسقوط الامطار (Tf) وزمن
الاساس للسيول Tb ^(١٢).

و- سرعة الجريان السيلي:

هو حجم المياه عبر المقطع النهري خلال وحدة الزمن، وتعد سرعة الجريان السيلي بمجاري الودية من اهم المعاملات المورفومترية لأحواض التصريف لكونها تحدد درجة خطورة الودية فضلاً عن مقدرتها في النحت ونقل الرواسب وتقاس سرعة الجريان في الانهار والمجاري المائية بأساليب وطرق متعددة وباستخدام اجهزة مختلفة، ويمكن حساب وتقدير سرعة الجريان عن طريق تطبيق المعادلة الآتية^(١٣):

$$V = L / tc$$

اذ ان

$$V = \text{سرعة الجريان}$$

$$L = \text{طول حوض التصريف (كم)}$$

$$tc = \text{زمن التركيز (ساعة)}$$

من جدول (٢) تتضح قيم سرعة الجريان السطحي في احواض منطقة الدراسة اذ بلغ المعدل الكلي للأحواض (١,٧١١ ساعة)، وقد مثل الحوض (٩) اقل سرعة للجريان السيلي اذ بلغت (٠,٥٣ كم/ساعة) في حين كانت اكبر سرعة في الحوض (١) اذ بلغت (٤,٠٨ كم/ساعة) مما سبق يمكن تحديد درجة خطورة السيول على سطح الأحواض حسب سرعة الجريان بانه كلما زادت سرعة الجريان تكون الأحواض اكثر خطورة وبالعكس ويعود ذلك الى كبر مساحة الأحواض فضلاً عن قلة انحدار السطح وطول الحوض^(١٤).

ز- حجم الجريان:

هو كمية المياه التي يمكن ان تصرفه شبكة تصريف الحوض الجاف خلال ودية تلك الشبكة، ويمكن حساب حجم الجريان من المعادلة الآتية^(١٥):

$$Qt (M^3/s) = \sum L (KM)^{0,85}$$

اذ ان

$$Qt(M^3/S) = \text{حجم الجريان (الف م}^3\text{)}$$

$$\sum L(KM) = \text{مجموع اطوال مجاري الحوض}$$

$$(0,85) = \text{اس ثابت يعبر عن ظروف الحوض}$$

وتؤثر عدد من الخصائص والمتغيرات المختلفة الخاصة بأحواض التصريف على عملية الجريان ومن اهم هذه الخصائص مساحة احواض التصريف والتكونيات الجيولوجية والتربة داخله، وكذلك شكل الحوض وانحدار سطحه فضلاً عن عوامل اخرى مثل نسبة التضرس والمنحنى الهيسومترى^(١٦).

وبتطبيق المعادلة يتضح النتائج في جدول (٣) اذ بلغ المعدل العام لحجم الجريان في احواض منطقة الدراسة (١٦,٧٦ م^٣)، وتراوح حجم الجريان ما بين اقل قيمة للحوض (١١) اذ بلغ (٣,٢٧ الف م^٣) وبين اعلى قيمة للحوض (١) (٧٧,١٧ الف م^٣). يتبين من نتائج المعادلة ان لمساحة الحوض ومجموع اطوال مجاريها علاقة طردية اذ ان الاحواض ذات المساحات الكبيرة تتباين فيها المجاري المائية وتزداد فيها الاطوال اما الاحواض صغيرة المساحة فيحدث العكس.

جدول (٣) تقدير حجم الجريان السيلي في احواض التصرف بمنطقة الدراسة في مدة السيولة

رقم الحوض	حجم الجريان الف (م ^٣)	رقم الحوض	حجم الجريان الف (م ^٣)	حجم الجريان الف (م ^٣)
-١	٧٧,١٧	-٧	٧٧,١٧	٦,٢٥
-٢	٢٦,٦٥	-٨	٢٦,٩٣	٦,٢٢
-٣	٢٦,٩٣	-٩	١١,٨٤	٤,٣٥
-٤	١١,٨٤	-١٠	٨,٦٩	٣,٧١
-٥	٨,٦٩	-١١	٩,٣٢	٣,٢٧
المعدل	١٦,٧٦٣			

المصدر: من عمل الباحثة اعتماداً على نتائج معادلة حجم الجريان (م^٣)

حـ-قيمة التدفق الاقصى للسيول (QP):

تستخدم هذه القيمة في معرفة اقصى تدفق لمياه السيول يمكن ان تصل الى مجاري الودية في حالة وجود نشاط سيلي قوي، ويمكن حساب قيم التدفق الاقصى للسيول عن طريق المعادلة الآتية^(١٧):

$$Qp (M^3/s) = \frac{CP A}{tp (hr)}$$

اذ ان

$Qp(M^3/S)$ = كمية التدفق الاقصى للسيول بحوض التصريف (م^٣/ثا)

A = مساحة الحوض (كم^٢)

$tp(hr)$ = مدة استجابة حوض التصريف لهطول الامطار (ساعة)

CP = معامل يرتبط بقابلية حوض التصريف المائي لتخزين المياه وتراوح قيمة بين (٦,٥ - ٢,٠). وبعد تطبيق المعادلة يتضح ان اقل قيمة للتدفق الاقصى للسيول في حوض (١١) اذ بلغ (٣,٢٧ م^٣/ثا) واعلى قيمة في حوض (١) وبلغ (٥١,١٠ م^٣/ثا).

طـ- قوة مياه السيل:

يتم الحصول على قيم معامل قوة مياه السيل من خلال تطبيق المعادلة الآتية^(١٨):

$$F = \frac{QP (M^3/s)}{\sqrt{A (KM^2)}}$$

اذ ان

F = معامل قوة السيل

= التدفق الاقصى للسائل $QP(M^3/S)$

= مساحة الحوض (KM^2)

جدول (٤) قيمة التدفق الاقصى للسائل ($M^3/\text{ثا}$)

رقم الحوض	قيمة التدفق الاقصى ($M^3/\text{ثا}$) في حال استخدام معامل تصريف الحوض المائي وقابليته لتخزين المياه (٤,٢٥)	قيمة التدفق الاقصى ($M^3/\text{ثا}$) في حال استخدام معامل تصريف الحوض المائي وقابليته لتخزين المياه (٢٠,٠٥)
-١	٥١,١٠	٢٤,٠٥
-٢	١٩,١٧	٩,٠٢
-٣	١٣,٣٧	٦,٢٩
-٤	٩,٥٦	٤,٤٩
-٥	٧,٨٨	٣,٧١
-٦	٥,١٣	٢,٤١
-٧	٥,٤٩	٢,٥٨
-٨	٣,٤٦	١,٦٣
-٩	٤,٨٦	٢,٢٨
-١٠	٣,١٥	١,٤٨
-١١	٢,٦٣	١,٢٤

المصدر: من عمل الباحثة اعتماداً على نتائج استخدام معادلة قيمة التدفق الاقصى للسائل (QP)

وبعد تطبيق المعادلة السابقة على احواض منطقة الدراسة يلاحظ من خلال الجدول (٥) ان المعدل العام لقوة مياه السيل ($3,٢٠ M^3/\text{ثا}$), وقد تراوحت قيم (F) ما بين اعلى قيمة ($6,٣١ M^3/\text{ثا}$) في الحوض (١)، في حين سجلت ادنى القيم ($1,٨٥ M^3/\text{ثا}$) في حوض (٨)، نلاحظ تباين قوة مياه السيل في احواض منطقة الدراسة ويعود ذلك الى مجموعة من العوامل من اهمها عدد المجاري في الوحدة المساحية، ونوع التكوينات الجيولوجية ونوع التربة والغطاء النباتي فضلاً عن مساحة الحوض وانحداره.

جدول (٥) قيم قوة مياه السيول في احواض منطقة الدراسة (٣/ثا)

رقم الحوض	قوة مياه السيول (٣/ثا)	رقم الحوض	قوة مياه السيول (٣/ثا)
-١	٦,٣١	-٧	٢,٨٩
-٢	٤,٤٠	-٨	١,٨٥
-٣	٣,٢٢	-٩	٣,٠٧
-٤	٣,٤٥	-١٠	٢,٣٩
-٥	٣,٢٨	-١١	٢,٢٠
-٦	٢,٢٠		٣,٢٠
المعدل			

المصدر: من عمل الباحثة اعتماداً على نتائج معادلة حجم الجريان (F)
التصنيف النهائي لدرجات خطورة السيول على احواض منطقة الدراسة:

لتحديد درجات خطورة السيول في احواض المنطقة تم دمج مجموعة المعاملات الهيدرولوجية للأحواض والمتمثلة بـ(زمن التركيز، زمن التباطؤ، مدة الأساس (اليوم)، مدة الارتفاع التدريجي لتدفق السيول، مدة انخفاض التدريجي لتدفق السيول، سرعة الجريان السلي، حجم الجريان، قيمة التدفق الاقصى للسيول، قوة مياه السيول) جدول (٦)، وقد تم عمل تصنیف نهائی لدرجة خطورة الأحواض بعد ان جمعت المتغيرات السابقة والبالغة (٩) متغيرات ولقد اعطى لكل حوض (٣) درجات خطورة ليصبح المجموع (٢٧) درجة الذي تم احتسابه معياراً لتصنيف درجة خطورة الأحواض اذ صنفت الأحواض التي تقع تحت (٩) بانها أحواض غير خطيرة والأحواض التي تقع ما بين (١٨-٩) بانها أحواض متوسطة الخطورة والأحواض الأكثر من (١٨) بأنها أحواض عالية الخطورة. وبناءً على ذلك يمكن تقسيم أحواض المنطقة بحسب درجات الخطورة على المستويات الآتية: خريطة (٢)

١- أحواض مجاريها منخفضة الخطورة: لم تظهر في ضمن هذا المستوى أحواض منخفضة الخطورة.

٢- أحواض مجاريها متوسطة الخطورة: وتشمل اغلب أحواض منطقة الدراسة والمتمثلة بحوض (٤، ٥، ٦، ٧، ٨، ٩، ١٠، ١١).

٣- أحواض مجاريها عالية الخطورة: تضم الأحواض (١، ٢، ٣).

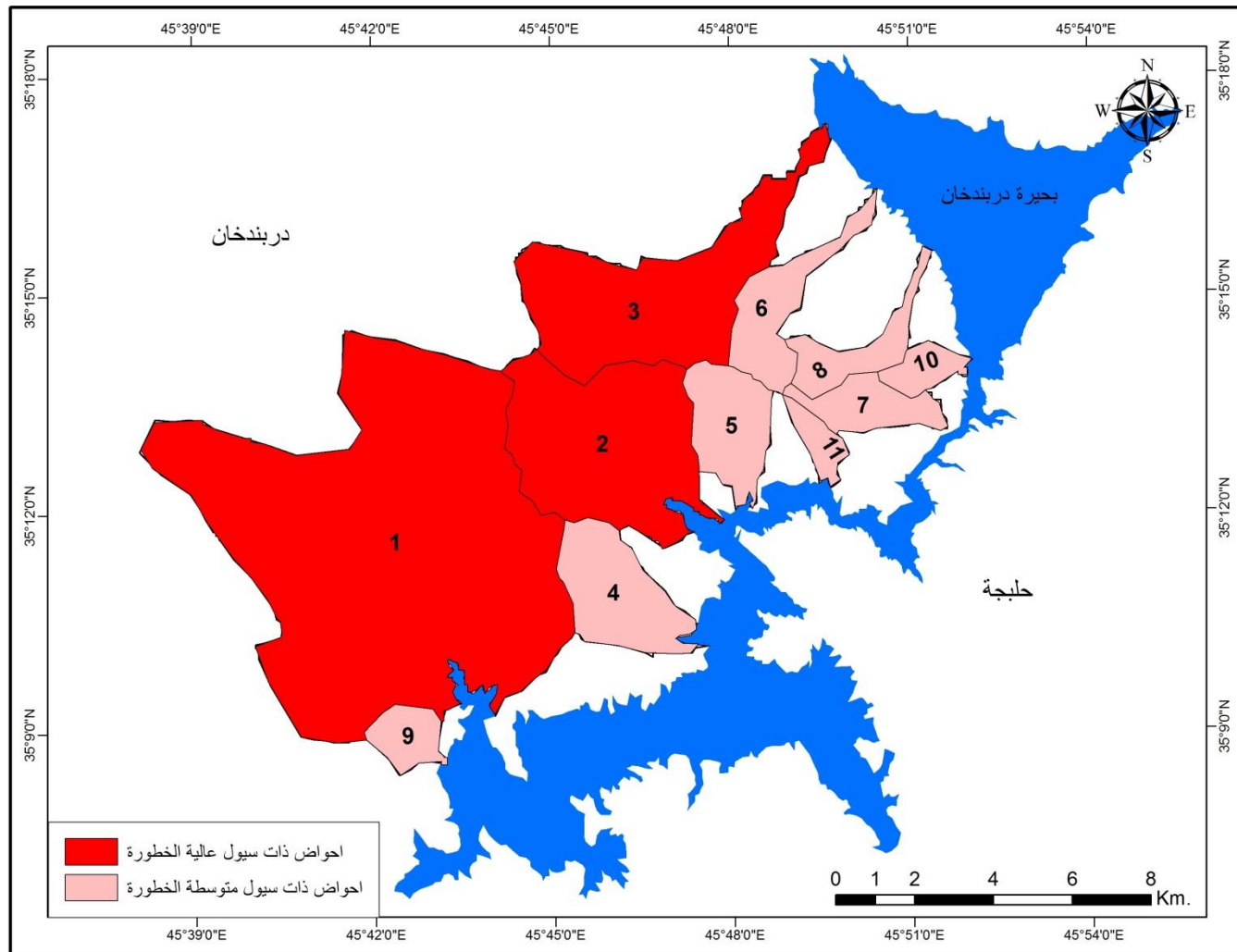
نستنتج من التصنیف السابق خلو منطقة الدراسة من المخاطر المنخفضة فيما تضمنت وجود مخاطر متوسطة وعالية للسيول تمثلت المخاطر المتوسطة ضمن الأحواض (٤، ٥، ٦، ٧، ٨، ٩، ١٠، ١١) لكونها أحواض مشابهة من حيث عامل الارتفاع الذي يتراوح ضمن الأحواض المدرجة سابقاً بين (٥٠٠-٧٠٠م)، فضلاً عن تمايل التكاوين الجيولوجية في اغلب هذه الأحواض.

جدول (٦) التصنيف المقترن لتحديد درجات خطورة السيول في أحواض منطقة الدراسة بحسب زنك

رقم الحوض	زمن التركيز	زمن التباطؤ	زمن الأساس	مدة الارتفاع التدريجي للسيول	مدة الانخفاض التدريجي	سرعة الجريان للسيول	حجم الجريان	قيمة التدفق الأقصى	قوة مياه السيول	المجموع	تصنيف درجات الخطورة
-١	٣	٣	٣	١	٢	٣	٣	٣	٣	٢٤	عالية
-٢	٣	٣	٣	١	٢	٢	٣	٣	٣	٢٣	عالية
-٣	٣	٣	٣	١	٢	٣	٣	٢	٢	٢٢	عالية
-٤	٢	٢	٢	١	٢	٢	٢	٢	٢	١٧	متوسطة
-٥	٢	٢	٢	١	٢	٢	٢	١	٢	١٦	متوسطة
-٦	٢	٣	٣	١	٢	٢	٢	١	١	١٧	متوسطة
-٧	٢	٢	٢	١	١	١	١	١	١	١٣	متوسطة
-٨	٢	٣	٣	١	٢	٢	٢	١	١	١٦	متوسطة
-٩	١	١	١	١	٢	١	١	١	٢	١١	متوسطة
-١٠	١	١	١	١	٢	١	١	١	١	١٠	متوسطة
-١١	١	١	١	١	٢	١	١	١	١	١٠	متوسطة

المصدر: من عمل الباحثة الاعتماد على نتائج معادلات السابقة.

خريطة (٢) تصنیف مخاطر السيول بحسب الاحواض في منطقة الدراسة



المصدر: من عمل الباحثة اعتماداً على الخريطة الطوبوغرافية لمنطقة الدراسة بمقاييس (١:١٠٠٠٠) وباستخدام برنامج ArcGIS10.5.

أما الأحواض (١، ٢، ٣) سجلت قيم خطورة عالية بسبب قيم ارتفاعها التي تراوحت بين (٥٠٠-١٣٠٠ متر)، بالنسبة للحوض (١)، و(٩٠٠-٥٠٠ متر) بالنسبة للحوضين (٢، ٣). إذا ما علمنا أن مع ازدياد معدلات الارتفاع تزداد سرعة الجريان نتيجة ازدياد معدل الانحدار.

الاستنتاجات:

١. من العوامل الرئيسية في حدوث السيول ضمن منطقة الدراسة سقوط الأمطار الغزيرة التي تؤدي إلى حدوث سيول جارفة عندما تزيد عن القدرة الامتصاصية للترابة.
٢. اعتماداً على الجدول المقترن لتحديد خطورة السيول في أحواض منطقة الدراسة وبحسب المعايير الهيدرولوجية صنفت خطورة السيول في أحواض منطقة الدراسة إلى ثلاثة مستويات اعتماداً على معيار الدرجة من (٢٧) وهي أحواض قليلة الخطورة تكون مجموع درجاتها أقل من (٩) وتبيّن عدم وجود أحواض ضمن هذا المستوى من الخطورة، وأحواض متوسطة الخطورة مجموع درجاتها بين (١٨-٩) وهي تمثل الأحواض (٤، ٥، ٦، ٧، ٨، ٩، ١٠، ١١)، وأحواض عالية الخطورة مجموع درجاتها أكثر من (١٨) وتشمل الأحواض (١، ٢، ٣).

التوصيات:

١. إنشاء محطات هيدرولوجية في منطقة الدراسة إذ لا توجد في المنطقة مثل هذه المحطات لمعرفة مقدار التصريف السنوي لهذه الوديان للافادة منها للأغراض المختلفة لاسيما الزراعة.
٢. إنشاء سدود خاصة بإعادة تدفقات السيول في مواضع ملائمة من منطقة الدراسة وذلك بهدف ضمان السيطرة الكاملة للأمطار في جميع أجزاء الحوض ومن ثم التخطيط لاستثمار هذه المياه.
٣. إعداد مخططات لكل حوض من أحواض المنطقة التي تتعرض لمخاطر السيول يحدد فيها مناطق تجميع الأمطار وكميّاتها ومسار مياه السيول مع تصميم هندسي يحدد قدرتها على تصريف المياه السيلية وتحدد درجة مقاومتها لعمليات التعرية.

المصادر والهواش:

- (١) ادريس علي سلمان الودعاني، مخاطر السيول في منطقة جازان جنوب غربي المملكة العربية السعودية (منظور جيومورفولوجي) مجلة جامعة جازان فرع العلوم الإنسانية، المجلد (٣)، العدد (١)، ٢٠١٤، ص ١٥.
- (٢) Ahmed M. Youssef, Abdallah Mohamed Hassan, Flash Floods risk estimation along thest, Katherine rood, Southern Sinai, Egypt using gis based morphometry, and satellite imagery, 2011, P.1.
- (٣) حسين كاظم عبد الحسين، تحليل مخاطر جيومورفولوجية في منطقة بنجوبين، اطروحة دكتوراه (غير منشورة)، كلية التربية، الجامعة المستنصرية، ٢٠١٧، ص ١٥٥.
- (٤) زينب ابراهيم حسين العطواني، التباين المكاني للظواهر الجيومورفولوجية الخطرة في محافظة اربيل، اطروحة دكتوراه (غير منشورة)، كلية التربية، الجامعة المستنصرية، ٢٠١٥، ٢٠١٧، ص ١٢٧.
- (٥) وفاء مازن عبد الله، جيومورفولوجية حوض وادي الطريفاوي، رسالة ماجستير (غير منشورة)، كلية التربية للبنات، جامعة بغداد، ٢٠١٧، ص ١٦٤.
- (٦) Federal Republic of Nigeria, Federal Ministry of Works, Highway, Part 1: Design, Volum IV, Drainage, 2013, P.11.
- (٧) احمد سالم صالح، السيول في الصحاري نظرياً وعلمياً، ط ١، دار الكتب الحديث، ١٩٩٩، ص ٣٥.
- (٨) Wilbur L. Meier Jr, Analysis of Unit hydrogrphs for Small Waters Heds in Texas, Texas Water eommssion, Bulletin 6414, 1964, P.3.
- (٩) H., M. Raghunath, Hydrology, Principles, Analysis, Design, New Age Internation (P) Limited, 2006, P.152.
- (١٠) Raghunath, Hydrology, Principles, Analysis, Design, Op. Cit., P.120.
- (١١) Raghunath, H. M., Hydrology, Principles, Analysis, Design, John Wiley, New York, 1984, P.164.
- (١٢) زينب ابراهيم حسين العطواني، التباين المكاني للظواهر الجيومورفولوجية الخطرة في محافظة اربيل، اطروحة دكتوراه (غير منشورة)، كلية التربية، الجامعة المستنصرية، ٢٠١٥، ١٣٧، ص ٢٠١٥.
- (١٣) اسحق صالح الحكم، جميلة فاخر محمد، تقرير مخاطر الجريان السطحي لستة احواض في الهضبة الغربية، مجلة كلية التربية للبنات، جامعة بغداد، المجلد (٢٧)، العدد (٥)، ٢٠١٦، ص ١٥٣٩.
- (١٤) المصدر نفسه، ص ١٥٤٠.
- (١٥) ادريس علي سلمان الودعاني، مخاطر السيول في منطقة جازان جنوب غربي المملكة العربية السعودية (منظور جيومورفولوجي)، مصدر سابق، ص ٤٦.
- (١٦) احمد سالم صالح، السيول في الصحاري نظرياً وعلمياً، ط ١، دار الكتب الحديث، ١٩٩٩، ص ٤٢.
- (١٧) Raghunath, H. M., Hydrology, Principles, Analysis, Design, Op. Cit., P.150.
- (١٨) اسحق صالح الحكم، جميلة فاخر محمد، تقرير مخاطر الجريان السطحي لستة احواض في الهضبة الغربية، مصدر سابق، ص ١٥٤١.

Estimate the size of runoff western Basin Valleys of DARBANDKHAN LAKE

ISRAA ABDULHUSSEIN ABBAS

Baghdad University / Faculty of Arts Department
Geography

Prof. Dr. ABDULULAH SABBAR ABOOD

Baghdad University / Faculty of Arts
Department of Geography

Abstract:

The study investigated the size of the runoff and the flood risk of the valleys of the west of the Derbendakhan lake basin (11 wadia), which is located southeast of the Sulaymaniyah Governorate with an area of 133.148 km². The spatial determination of these risks was determined by studying some hydrological parameters of the study area The direct correlation with the flow processes and the occurrence of flood hazards on the surface of the earth.